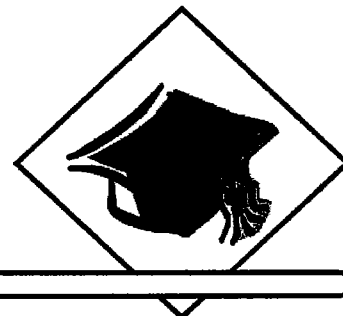


فصل ششم



مقاومت پرشی خاک (Shear Strength)

در این فصل به دنبال آن هستیم تا بدانیم حداکثر مقاومت خاک در مقابل بارهای وارد چقدر است. بعارت دیگر تحت چه شرایطی حالت گسیختگی (تسلیم) در خاک رخ می‌دهد؟

در قرن نوزدهم و اوایل قرن بیستم دانشمندان سعی کردند تا براساس تنש، معیارهایی را برای گسیختگی (تسلیم) در مصالح عناوan کنند. در این معیارها مواد را به دو دسته تقسیم می‌کنند:

- مواد شکل پذیر (Ductile)

تغییرشکل این مواد دراثر بار، در ابتدا کوچک بوده و سپس تدریجاً تغییرشکل‌ها بزرگ شده و ماده وارد منطقه‌ی پلاستیک می‌شود و سرانجام گسیخته می‌گردد. معیارهایی که برای گسیختگی این مواد بیان می‌شود، Yield Criteria (معیار تسلیم) نامیده می‌شود. در درس مکانیک جامدات این معیارها برای فولاد بیان شده است.

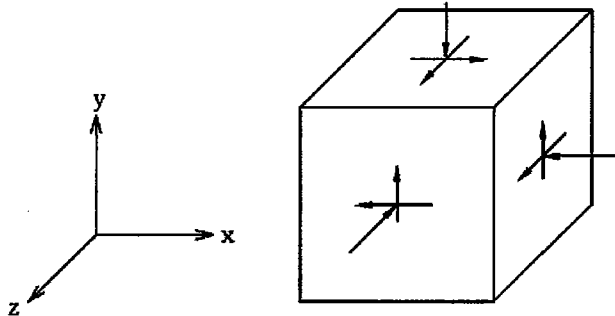
- مواد شکننده (Brittle)

این مواد، بدون تغییرشکل قابل توجه بار را تحمل می‌کنند و ناگهان می‌شکنند (بدون اینکه نمودی از نزدیک شدن به نقطه‌ی شکست نشان دهند). معیارهایی که برای این مواد بیان می‌شود Fracture Criteria (معیار شکست) نامیده می‌شود.

در مورد مصالح ژئوتکنیکی دو مشکل وجود دارد:

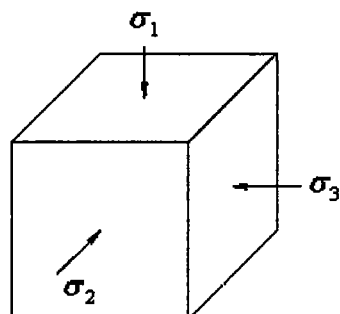
اولاً رفتار این مواد یکسان نیست مثلاً سنگ‌ها جز مواد شکننده Brittle و خاک‌های شن و ماسه‌ای بین دانه‌هایشان پیوستگی وجود ندارد و نمی‌توان آن‌ها را یک محیط پیوسته واقعی فرض کرد.
لذا بیان معیارهایی بر پایه تنش، که تسلیم یا گسیختگی در خاک را نشان دهد کار ساده‌ای نیست.

دایرهٔ موهر (Mohr Circle)



المانی را در عمق Z از خاک در نظر می‌گیریم. در حالت کلی روی سطوح این المان تنش‌های برشی و قائم وجود دارد. در مکانیک خاک معمول است که چون خاک‌ها در کشش ضعیف عمل می‌کنند تنش‌های قائم فشاری را مثبت در نظر می‌گیرند. در مورد جهت تنش‌های برشی، تنش‌هایی که المان را در جهت عقری‌های ساعت بچرخانند به عنوان تنش‌های مثبت فرض می‌شوند. اگر در طبیعت سطح زمین را افقی در نظر بگیریم، تنش‌های برشی ناچیز خواهد بود و می‌توان از آن‌ها صرف‌نظر کرد، اما در سطوح شیب دار مجاز به چنین فرضی نیستیم. تنش‌های قائم بدون تنش برشی را تنش‌های اصلی و صفحاتی که این تنش‌ها بر آن‌ها عمود هستند را صفحات اصلی می‌گویند.

حال فرض می‌کنیم سطح زمین صاف باشد و تنش‌های برشی قابل صرف‌نظر کردن باشد. در اینصورت تنش‌های وارد بر المان را می‌توان به صورت مقابل نشان داد:



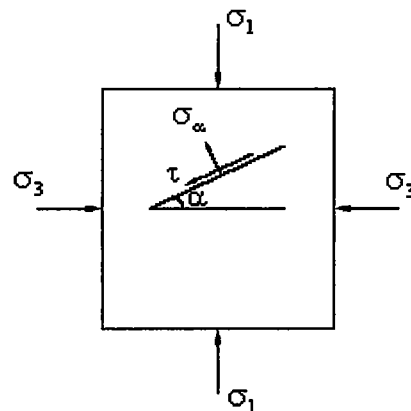
فرض کنید: $\sigma_1 > \sigma_2 > \sigma_3$ (اگر تنش‌های تکتونیکی خاصی در اعماق زمین وجود نداشته باشد معمولاً تنش در راستای قائم از سایر تنش‌ها بیشتر است). اکنون صفحه‌ی عمود بر σ_2 را در نظر گرفته و در حالت دو بعدی به بررسی وضعیت تنش‌ها می‌پردازیم (بعداً خواهیم دید که تنش برشی ماکزیمم، ناشی از بیشترین و کمترین تنشهای قائم پعنی σ_1 و σ_3 است).

با نوشتن معادلهٔ تعادل استاتیکی در حالت دو بعدی می‌توان تنش برشی و قائم را روی هر سطح دلخواه با شیب α نسبت به افق به دست آورد.

$$\sigma_\alpha = \frac{\sigma_1 + \sigma_3}{2} + \frac{\sigma_1 - \sigma_3}{2} \cos 2\alpha$$

$$\tau_\alpha = \frac{\sigma_1 - \sigma_3}{2} \sin 2\alpha$$

مشخص است هر چه σ_3, σ_1 بیشتر باشد σ_α بیشتر خواهد بود.

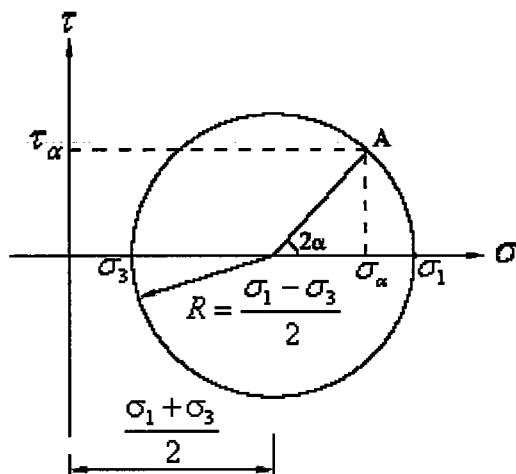


اگر σ_3, σ_1 برابر باشند روی هر سطح مایل با زاویه دلخواه تنش برشی برابر صفر است. به عبارت دیگر اگر به یک مکعب به یک میزان تنش از سه طرف اعمال کنیم در هیچ صفحه‌ای تنش برشی وارد نمی‌شود.

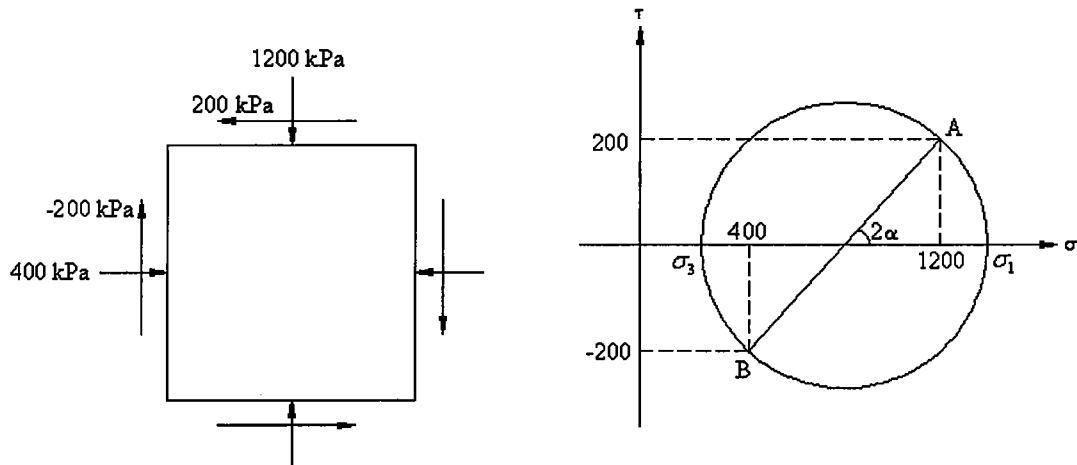
آقای موهر با در نظر گرفتن روابط σ_α و τ_α به این نتیجه رسید که می‌توان این تنش‌ها را در دستگاه مختصات

$$\sigma \text{ و } \tau \text{ روی دایره‌ای به مرکز } \left(\frac{\sigma_1 + \sigma_3}{2}, 0 \right) \text{ وشعاع } \frac{\sigma_1 - \sigma_3}{2} \text{ رسم کرد.}$$

یعنی برای پیدا کردن تنش‌های برشی و قائم روی صفحه‌ای که نسبت به صفحه‌ی افق به اندازه‌ی زاویه α چرخیده است کافیست روی دایره از محور افقی از نقطه σ_1 , σ_3 , به اندازه 2α در جهت مثلثاتی بچرخیم تا به نقطه‌ی A بررسیم. مؤلفه‌های نقطه‌ی A متناظر مؤلفه‌های تنش روی آن صفحه است.



حتی اگر تنش‌های ما تنش‌های اصلی نباشند و ما در کنار آن‌ها تنش‌های برشی نیز داشته باشیم، باز می‌توان از دایره‌ی موهر استفاده کرد. در این حالت متناظر با هر صفحه، نقطه‌ای روی دایره مشخص می‌شود که به کمک آن می‌توان دایره را رسم کرد.



به عنوان نمونه، با مشخص شدن دو نقطه‌ی A و B می‌توان دایره‌ای به قطر AB رسم کرد. به این صورت دایره‌ی موهر برای حالتی که تنش‌های اصلی نباشند به دست می‌آید. با دقت در این دایره می‌توان فهمید که اگر صفحات را به اندازه‌ی α در جهت نشان داده شده (ساعتگرد) بچرخانیم به صفحات اصلی خواهیم رسید که روی آنها تنش برشی صفر بوده و تنش‌های قائم σ_1 و σ_3 خواهند بود.

(Mohr-Coulomb Failure Criterion) کلمب: گسیختگی موهر

کلمب اولین کسی بود که مشاهده کرد خاک‌ها و سنگ‌ها در فشار مقاومت خوبی دارند اما در برش گسیخته می‌شوند. به همین دلیل یک معیار گسیختگی بر مبنای تنش عنوان کرد.

مقاومت برشی خاک به دو عامل وابسته است:

- عامل وابسته به تنش (وزن خاک بالای المان)

- عامل غیروابسته به تنش (چسبندگی ذاتی مصالح)

براساس این دو عامل کلمب رابطه‌ی زیر را پیشنهاد کرد:

$$\tau_f = (\sigma \tan \phi) + c$$

که در این رابطه...

τ_f : تنش برشی لازم برای ایجاد گسیختگی در خاک. (مقاومت برشی خاک در لحظه‌ی گسیختگی)

σ : تنش قائم وارد بر سطح گسیختگی

ϕ : زاویه‌ی اصطکاک داخلی ($\tan \phi$ در واقع حکم ضریب اصطکاک m را در روابط فیزیک دارد.)

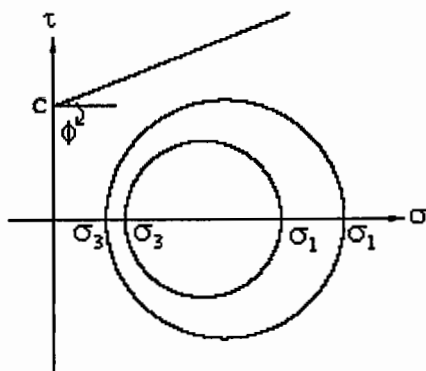
c : چسبندگی

می‌باشد.

در خاک‌های دانه‌ای که بین دانه‌ها چسبندگی وجود ندارد، مقدار c صفر است، اما در خاک‌های سیلتی و رسی، c نقش مهمی را در τ ایفا می‌کند. به عبارتی دیگر هر چه درصد رس در خاک بیشتر باشد مقدار c برای خاک بیشتر است.

اکنون می‌خواهیم بینیم این معیار گسیختگی در دایره‌ی موهر چه شکلی خواهد داشت. با توجه به اینکه رابطه‌ی σ, τ در این رابطه از درجه اول است می‌توان نتیجه گرفت این معیار به صورت خط راست در این دستگاه محور‌های مختصات σ و τ رسم می‌شود.

$$\sigma = 0 \rightarrow \tau_f = c$$



معیار گسیختگی موهر-کلمب، اینطور بیان می‌کند که...

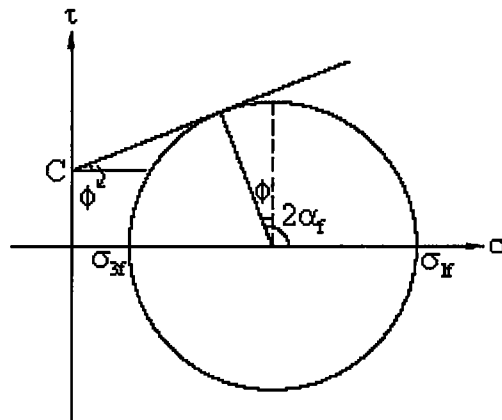
«تسلیم (گسیختگی) در خاک زمانی رخ می‌دهد که ترکیب تنش‌های قائم و برشی در روی سطح گسیختگی به نحوی باشد که دایره‌ی موهر نشان دهنده‌ی وضعیت تنش‌ها، بر خط کلمب مماس شود»

براساس معیار موهر-کلمب، تنش قائم حداقل و تنش برشی حداقل هیچکدام به تنهاًی باعث گسیختگی خاک نمی‌شوند بلکه ترکیبی بحرانی از آنها که رابطه $\tau = \sigma \tan \phi + c$ را ارضاء نماید موجب گسیختگی خاک می‌گردد. تا وقتی که دایره موهر که نشان دهنده وضعیت تنش‌های وارد بر المان خاک می‌باشد در زیر خط کلمب قرار دارد، خاک گسیخته نمی‌شود. زمانیکه دایره موهر بر خط کلمب مماس شود گسیختگی در خاک رخ می‌دهد.

براساس این معیار نمی‌توان روی یک صفحه وضعیتی از تنش را داشت که دایره‌ی موهر آن بالای خط کلمب قرار گیرد. لذا به این خط، «پوش گسیختگی» گفته می‌شود.

اکنون می‌خواهیم بینیم گسیختگی در کدام صفحه روی می‌دهد.

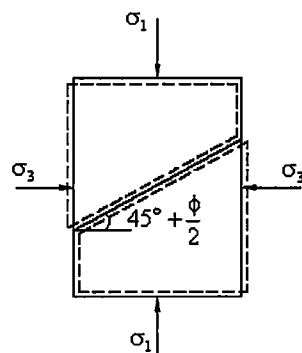
طبق مباحثی که تاکنون انجام شد و با استفاده از شکل مقابل می‌توان نوشت:



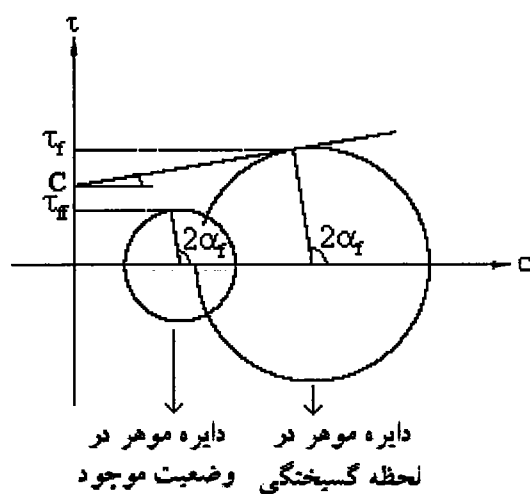
$$2\alpha_f = 90^\circ + \phi$$

$$\rightarrow \alpha_f = 45^\circ + \frac{\phi}{2}$$

مفهوم فیزیکی α_f آن است که، اگر σ_3, σ_1 را آنقدر زیاد کنیم که دایره موهر نظیر آنها بر خط کلمب مماس شود، در اینصورت خاک در سطحی با زاویه‌ی α_f مطابق شکل زیر خواهد بود.



اگر زاویه‌ی صفحه‌ی شکست (α_f) معلوم باشد، در هر وضعیتی از تنش، ضریب اطمینان در مقابل گسیختگی برآورد قابل محاسبه است.



$$F.S. = \frac{\tau_f}{\tau_{ff}}$$

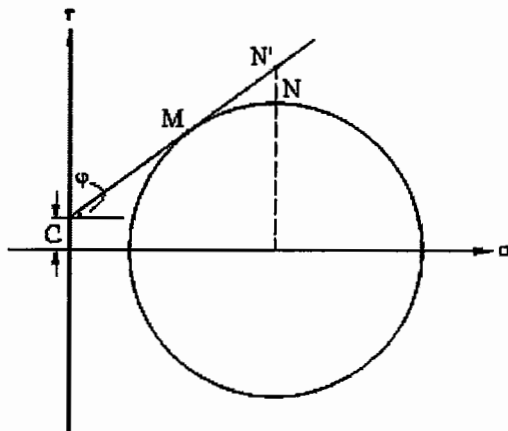
که در این رابطه...

τ : مقاومت برشی خاک.

α_{ff} : تنش برشی موجود در صفحه‌ی به زاویه‌ی α_{ff}

می‌باشد.

بنابرآنچه گفتیم، گسیختگی در صفحه‌ی متناظر با نقطه‌ی M روی می‌دهد (شکل زیر). اما حداقل تنش برشی در نقطه‌ی N به وجود می‌آید. این نکته تأییدی است بر این مطلب که گسیختگی لزوماً روی صفحه‌ای رخ نمی‌دهد که τ روی آن ماقزیم است.



سؤال: گفتیم که خاک‌ها در برش ضعیف عمل می‌کنند. پس چرا در صفحه‌ای که τ ماقزیم است، گسیختگی روی نمی‌دهد؟

درست است که در نقطه‌ی N تنش برشی ماقزیم است، اما مقاومت برشی خاک در صفحه‌ی نظیر آن نقطه (که زاویه آن نسبت به افق ۴۵ درجه است) برابر طول قائم نقطه‌ی N' است که از تنش برشی نقطه‌ی N بیشتر است. بنابراین می‌توان گفت گسیختگی در نقطه‌ای روی می‌دهد که تنش برشی روی صفحه با مقاومت برشی خاک برابر شود (نقطه M).

مشخص است که هر چه چسبندگی بیشتر شود (مقدار c افزایش پیدا کند) مقاومت برشی خاک افزایش خواهد یافت. از سوی دیگر در یک C ثابت، هر چه شب خط بیشتر شود، تنش‌های بزرگتر (دایره‌ی موهر بزرگتر) نیاز داریم تا بر خط مورد نظر مماس شود، لذا خاک مقاومت برشی بیشتری خواهد داشت. به عبارت دیگر هر چه زاویه ϕ بیشتر شود، خاک از لحاظ مقاومت برشی قوی تر می‌شود.

در خاک‌های درشت دانه مثل شن و ماسه، اگر خاک کاملاً تمیز باشد (هیچ ریزدانه‌ای نداشته باشد) مقدار $c=0$ خواهد بود. در خاک‌های ریز دانه (رسی) نرم در حالت زهکشی نشده ϕ می‌تواند نزدیک صفر باشد.

اگر اصطکاک داخلی در یک خاک قابل صرفنظر کردن باشد ($0 \cong \phi$) خط کلمب به صورت خط افقی درخواهد آمد. در اینصورت در همه‌ی حالات زاویه‌ی صفحه‌ی گسیختگی 45^0 خواهد بود. در این حالت بزرگی یا کوچکی تنش قائم تأثیری روی صفحه‌ی جداسدگی نخواهد داشت و فقط تفاضل تنش‌ها (برش) است که در گسیختگی مهم است.

معیار گسیختگی موهر- کلمب بر حسب تنش‌های اصلی به صورت زیر در می‌آید :

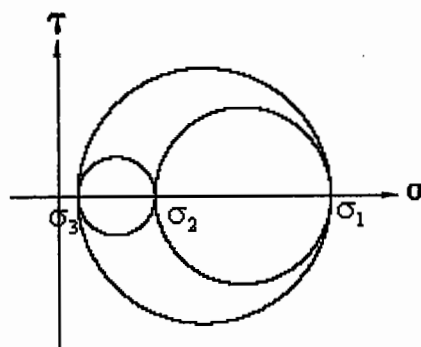
$$\sigma_{1f} - \sigma_{3f} = (\sigma_{1f} + \sigma_{3f}) \sin\phi + 2c \cos\phi$$

رابطه فوق به سهولت با روابط هندسی موجود در شکل صفحه قبل بدست می‌آید. این رابطه را به صورت زیر نیز می‌توان نوشت:

$$\sigma_1 = \sigma_3 \cdot \tan^2(45 + \frac{\phi}{2}) + 2c \cdot \tan(45 + \frac{\phi}{2})$$

$$\sigma_3 = \sigma_1 \cdot \tan^2(45 - \frac{\phi}{2}) - 2c \cdot \tan(45 - \frac{\phi}{2})$$

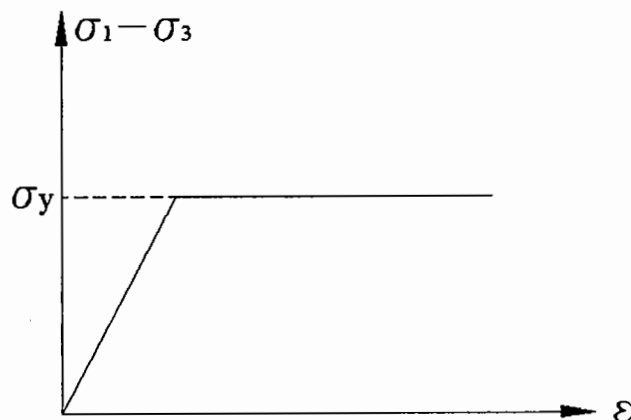
سؤال: آیا تنش متوسط σ_2 تأثیری در گسیختگی ندارد؟



براساس معیار موهر- کلمب و بنابر فرضی که در ابتدا انجام دادیم ($\sigma_1 > \sigma_2 > \sigma_3$)، بیشترین تنش بر بشی که در خاک ایجاد می‌شود تفاضل تنش‌های $\sigma_1, \sigma_2, \sigma_3$ است. (دایره‌ی موهر مربوط به تنش‌های دیگر در شکل نشان داده شده است). بنابراین آنچه که معیار موهر- کلمب می‌گوید خاکی از عدم تأثیر σ_2 در گسیختگی خاک است ولی معیارهای دیگری نیز در خصوص گسیختگی خاک وجود دارند که در برخی از آنها تنش σ_2 نیز وارد می‌شود. این معیارها در دروس پیشرفته مکانیک خاک بررسی می‌شوند.

بنابر تعریف معیار موهر- کلمب، اگر وضعیت تنش‌های σ و τ روی یک صفحه معیار $\tau = \sigma \tan\phi + c$ را ارضانمایند روی آن صفحه گسیختگی رخ می‌دهد، بنابراین اگر وضعیت تنش را هنگام گسیختگی با σ نشان می‌دهیم، تنش در خاک نمی‌تواند از آن حد بیشتر باشد ولی اگر تنش بیشتری به خاک وارد شود این تنش به المانهای مجاور که هنوز به σ نرسیده‌اند منتقل خواهد شد.

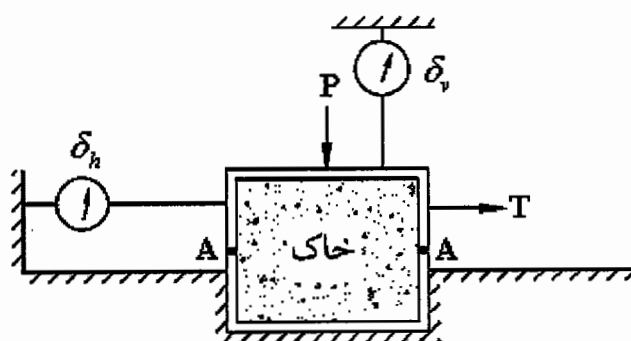
اگر رابطه‌ی تنش- کرنش، در ابتدای رفتار آن خطی و پس از گسیختگی به صورت افقی فرض شود، آن گاه به این مواد «elastic perfect plastic» می‌گویند.



آزمایش آزمایشگاهی جهت تعیین مقاومت برشی خاک:

(۱) آزمایش برش مستقیم (Direct shear test)

این آزمایش قدیمی‌ترین و ساده‌ترین آزمایش برای تعیین مقاومت برشی خاک است.



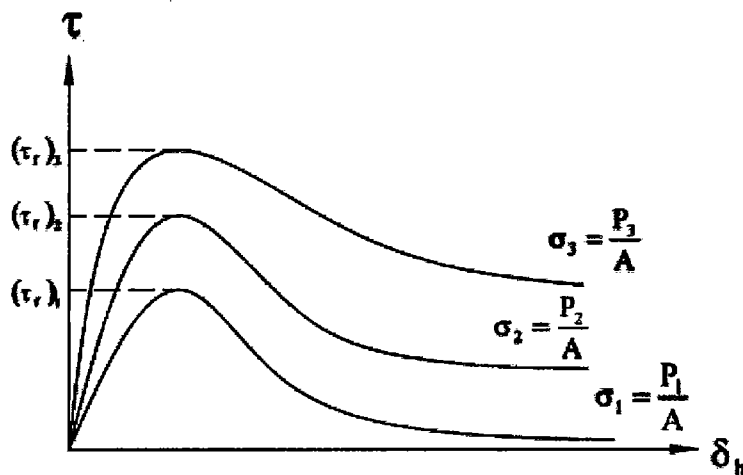
جعبه‌ای فلزی را در نظر بگیرید که به دو قسمت تقسیم شده است. اگر قسمت پائین آن را ثابت فرض کرده و قسمت بالایی قابل حرکت باشد، می‌توان با جابه جایی قسمت بالایی مقاومت برشی خاک را به دست آورد. دو gage به جعبه‌ای متصل می‌کنیم که یکی جابجایی در راستای قائم و دیگری جابجایی در راستای افقی را نشان می‌دهد. نیروی P از بالا به خاک وارد شده و سپس جعبه‌ای بالایی توسط نیروی T کشیده شود. عاملی که باعث می‌شود نیمه بالایی جعبه نسبت به نیمه پائینی آن حرکت نکند اصطکاک خاک در داخل جعبه در سطح AA می‌باشد. با افزایش تدریجی نیروی T و با اندازه‌گیری نیروی T در لحظه‌ای که جعبه بالایی می‌لغزد می‌توان نوشت:

$$\frac{T}{A} = \text{تنش برشی}$$

$$\frac{P}{A} = \text{تنش قائم}$$

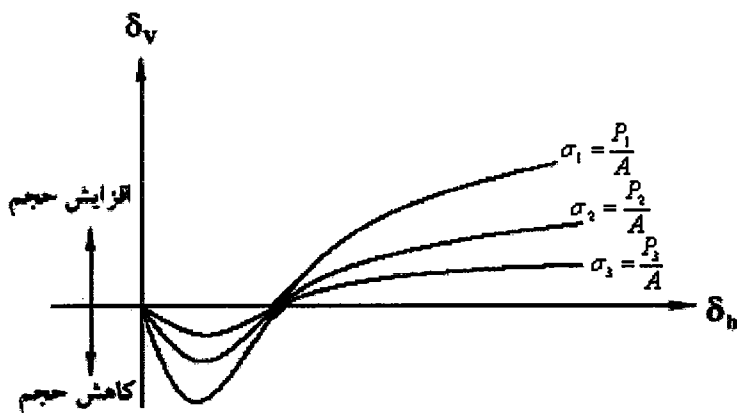
A: سطح نمونه‌ی خاک

اگر نمودار تنش برشی را بر حسب جابه جایی افقی رسم کنیم شکلی شبیه نمودار زیر به دست خواهد آمد:



مشخص است با افزایش نیروی برشی T بعد از زمانی خاک بریده و نیمه بالایی جعبه به حرکت در می‌آید. تنش برشی در لحظه گسیختگی خاک حداکثر بوده و همان، تنش برشی گسیختگی است که آن را با τ_r نشان می‌دهند. با افزایش نیروی قائم P تنش برشی گسیختگی نیز افزایش می‌یابد. بعارت دیگر با اعمال P بیشتر برشی جعبه $P_3 > P_2 > P_1$. تنش برشی لازم برای ایجاد گسیختگی نیز بیشتر می‌شود $\tau_r(P_1) < \tau_r(P_2) < \tau_r(P_3)$.

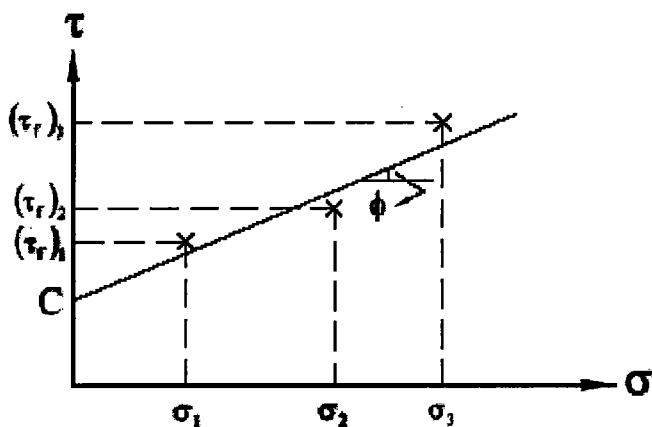
حال اگر تغیرات جابجایی قائم را بر حسب تغیرات جابجایی افقی رسم کنیم نمودار شبیه نمودار زیر به دست خواهد آمد:



وقتی خاک ابتدائاً تحت تنش برشی قرار می‌گیرد دانه‌ها به گونه‌ای نسبت به هم جابه‌جا می‌شوند که فضاهای خالی را پر کرده و متراکم می‌شوند (حجم کاهش می‌یابد) اما اگر تنش برشی باز افزایش یابد دو حالت ممکن است رخ دهد: یا اینکه خود دانه‌های خاک متلاشی شوند که احتمال آن کم است یا اینکه دانه‌ها بر روی هم سوار می‌شوند تا بتوانند از روی هم عبور کرده و در خاک گسیختگی ایجاد نمایند که این امر باعث افزایش حجم نمونه می‌شود. پس در ابتدا کاهش حجم و در ادامه افزایش حجم مشاهده می‌شود.

این آزمایش معمولاً برای خاک‌های درشت دانه انجام می‌شود، البته می‌توان این آزمایش را برای خاک‌های ریزدانه دست نخورده نیز انجام داد، اما آزمایشات بهتری برای خاک‌های ریزدانه وجود دارد.

اگر این آزمایش را با سه تنش قائم مختلف انجام دهیم و حاصل را در دستگاه مختصات موهر نشان دهیم می‌توان خطی به آن‌ها برازش داد که به وسیله‌ی آن خط c و ϕ به دست می‌آید.



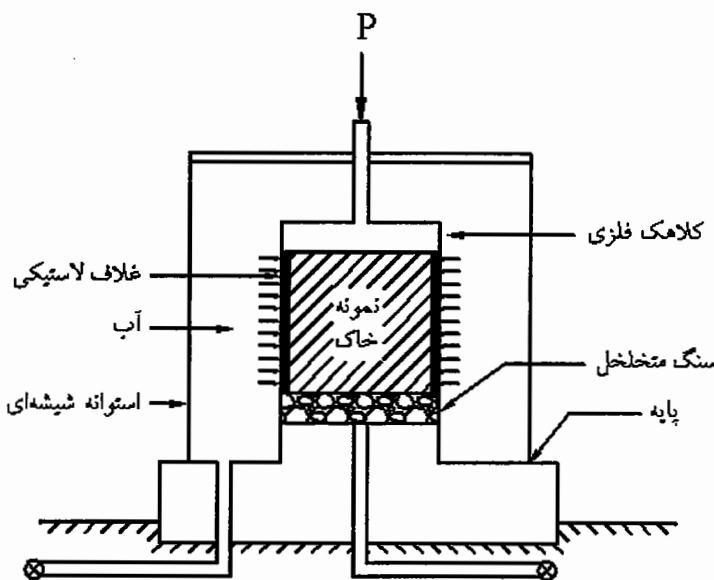
نکته‌ای که باید به آن توجه نمود آن است که در هر سه آزمایش باید شرایط نمونه یکسان باشد خصوصاً درجهٔ تخلخل آن‌ها باید مساوی باشد.

اشکالات آزمایش برش مستقیم را می‌توان به صورت زیر عنوان کرد:

- ما در روابط، سطح مقطع نمونهٔ خاک را ثابت در نظر می‌گیریم، در صورتی که با جایهٔ جایی دو جعبه فوقانی و تحتانی نسبت به هم، این سطح مقطع کاهش می‌باید.
- فرض همگن بودن توزیع تنش برشی در سطح گسیختگی صحیح نیست (در گوشها تمرکز تنش داریم)
- شرایط زهکشی هنگام آزمایش روی نمونه‌های اشیاع قابل کنترل نیست
- در حین انجام آزمایش، تنشهای اصلی روی سطح برش دچار دوران می‌شوند
- سطح برش AA را ما به خاک تحمیل می‌کنیم و c و ϕ را برای این سطح برش تحمیلی به دست می‌آوریم. در واقع خاک روی ضعیفترین سطح خود گسیخته می‌شود و لزومی ندارد که در طیعت نیز خاک در این سطح ببرد.

(۲) آزمایش سه محوری (Triaxial test)

این آزمایش را Casagrande هنگام تحصیل در دانشگاه MIT آمریکا پیشنهاد داد.



همانطور که در شکل دیده می‌شود در این آزمایش سنگ متخلفی را روی پایه قرار می‌دهند و نمونه خاک چسبنده را که درون یک غلاف لاستیکی قرار دارد روی آن قرار می‌دهند و در بالای نمونه خاک یک کلاهک فلزی قرار دارد که از بالای آن بار P به نمونه نیز وارد می‌شود. تمام این مجموعه در یک استوانه شیشه‌ای قرار می‌گیرد که این استوانه به طور کامل دریابین و بالا آب بند می‌شود و داخل استوانه با آب پر می‌گردد. در قسمت تحتانی پایه دو سوراخ وجود دارد: مجرای اول که مستقیماً به فضای درون استوانه راه دارد و به کمک آن آب را وارد استوانه می‌کنند. وقتی که استوانه کاملاً پر شد آن را به کمپرسور وصل می‌کنند تا بتوانند فشار آب داخل استوانه را تنظیم کنند. با تنظیم فشار آب داخل محفظه و اندازه گیری آن (σ_{cell}) تنش وارد شده از اطراف به نمونه خاک تعیین می‌شود.

مجرای دیگری که به سنگ متخلف متصل است، از سمت دیگر به یک بورت وصل می‌باشد. از این ماجرا برای اندازه گیری میزان آب خروجی از نمونه خاک استفاده می‌شود (چون نمونه راه دیگری برای تبادل آب با محیط اطراف ندارد) اگر این ماجرا را به پیزومتر وصل کنیم می‌توانیم فشار آب منفذی داخل نمونه را به دست آوریم.

آزمایش سه محوری روی نمونه‌های اشباع به سه طریق قابل انجام است.

(۱) روش تحکیم نشده زهکشی نشده (UU) unconsolidated-undrained

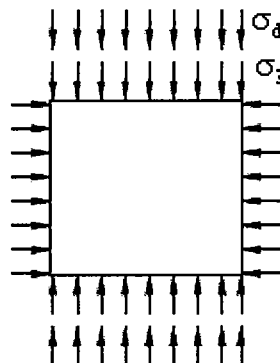
(۲) روش تحکیم شده زهکشی نشده (CU) consolidated-undrained

(۳) روش تحکیم شده زهکشی شده (CD) consolidated-drained

آزمایش سه محوری در دو قسمت صورت می‌گیرد:

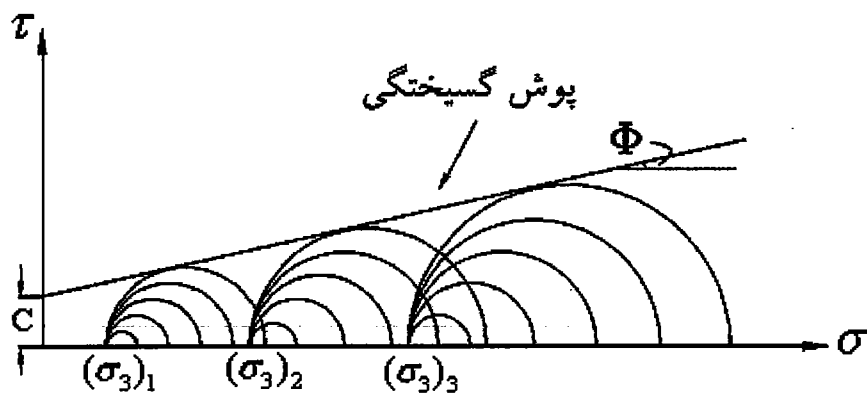
در قسمت اول با تنظیم فشار آب داخل استوانه، تنش یکنواختی را به نمونه وارد می‌کنیم ($\sigma_{cell} = \sigma_3 = \sigma$). در این قسمت اگر شیر کنترل خروج آب منفذی از نمونه باز باشد و به نمونه اجازه خارج شدن آب و تحکیم شدن را بدheim، آزمایش را «consolidated» و اگر شیر کنترل بسته باشد و اجازه خروج آب به نمونه داده نشود، آزمایش را «unconsolidated» می‌گویند.

در قسمت دوم آزمایش، به وسیلهٔ پیستون که در بالای نمونهٔ خاک قرار دارد تنש σ_d را در جهت قائم به نمونه وارد می‌کنیم. در این حالت اگر شیر کترل باز باشد و به نمونه اجازهٔ خروج آب داده شود آزمایش «undrained» و اگر اجازهٔ زهکشی و خروج آب به نمونه داده نشود (بستن شیر کترل) آزمایش را «drained» می‌گویند.



بنابراینکه در قسمت اول یا دوم آزمایش شیر خروج آب منفذی باز یا بسته باشد می‌توان یکی از سه حالت UU و CD و CU را آزمایش کرد. با افزایش آرام σ_3 سرانجام نمونهٔ خاک گسیخته خواهد شد. در این حالت با داشتن σ_3 و σ_d می‌توان مقاومت برشی خاک یعنی c را به دست آورد.

اکنون می‌خواهیم این پدیده را در دستگاه مختصات موهر مورد بررسی قرار دهیم. در قسمت اول آزمایش چون σ_3, σ_1 برابر هستند (به نمونه فشار همه جانبی یا دورگیر یا all-round Pressure وارد می‌شود) دایرهٔ موهر برای آن، شکل نقطه را خواهد داشت. با وارد کردن σ_d به آرامی σ_1 افزایش پیدا می‌کند ($\sigma_1 = \sigma_3 + \sigma_d$) و مرتبًا دایرهٔ موهر بزرگ و بزرگتر می‌شود تا اینکه خاک گسیخته شود. این آزمایش را برای سه σ_3 مختلف انجام می‌دهیم و دایره‌های موهر نظیر آنها را نیز رسم می‌کنیم. بهترین خطی که بر این سه دایره (در لحظهٔ گسیختگی) مماس باشد به عنوان پوش گسیختگی در نظر گرفته می‌شود و می‌توان به کمک آن c و ϕ را به دست آورد.



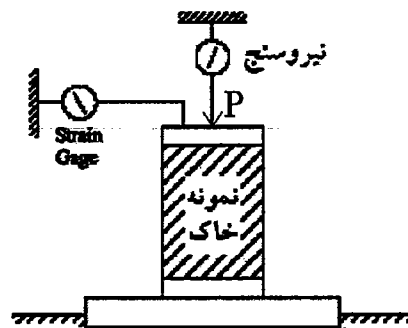
این آزمایش نسبت به آزمایش برش مستقیم چندین مزیت دارد:

- شرایط زهکشی تحت کترل است و امکان اندازه‌گیری فشار آب حفره‌ای وجود دارد.
- سطح گسیختگی هر زاویه‌ای می‌تواند داشته باشد و تحملی نیست.
- این آزمایش سه بعدی است و از همهٔ جهات می‌توان به نمونه نیرو وارد کرد.
- مسیرهای مختلف تنش را می‌توان شبیه سازی کرد.

- در طول آزمایش تنش‌های افقی و قائم، "تنش‌های اصلی" باقی خواهند ماند (اما در آزمایش برش مستقیم به علت وجود نیروی برشی روی سطح برش صفحات اصلی تغییر می‌کرد).
- البته این آزمایش مشکلاتی نیز دارد، که برخی از آن‌ها را می‌توان به صورت زیر نام برد:
 - این آزمایش زمان زیادتر و تکنسین ماهر نیاز دارد.
 - در طبیعت زهکشی از هر طرف قابل امکان است اما در این آزمایش فقط زهکشی در راستای قائم وجود دارد. (البته برای حل این مشکل می‌توان مواد خاصی بین غلاف لاستیکی و نمونه قرار داد تا زهکشی از اطراف نیز انجام شود)
 - در طبیعت لزوماً $\sigma_3 = \sigma_2$ با هم برابر نیستند، اما در این آزمایش یکسان و ثابت در نظر گرفته شده‌اند.
 - با وجود این مشکلات، این آزمایش یکی از بهترین آزمایشها جهت تعیین مقاومت برشی خاک است. البته دستگاه‌های تحقیقاتی بهتری نیز وجود دارد. انتخاب نوع آزمایش سه محوری UU و CU و CD به نوع خاک و شرایط بارگذاری بستگی دارد. برای خاک‌های درشت دانه که k بالایی دارند شرایط بارگذاری زهکشی شده است در این حالت برای شبیه سازی کردن از آزمایش «Drained» استفاده می‌شود. برای خاک‌های ریزدانه‌ی رسی که k خیلی پائینی دارند رفتار خاک در بارگذاری، رفتار زهکشی نشده «Undrained» است. در این خصوص در ادامه همین فصل توضیحات بیشتری خواهد آمد.

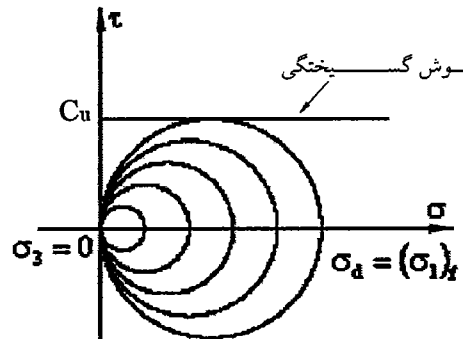
(۳) آزمایش فشاری محصور نشده: (unconfined compression test)

این آزمایش را آزمایش تک محوری نیز می‌گویند. شباهت زیادی بین این آزمایش و آزمایش سه محوری وجود دارد. ولی در این آزمایش دیگر، غلاف لاستیکی و استوانه‌ی شیشه‌ای وجود ندارد و از اطراف فشاری بر نمونه اعمال نمی‌شود ($\sigma_3 = 0$). این آزمایش برای خاک‌های چسبنده‌ی اشیاع دست نخورده معمول است. برای خاک‌های ماسه‌ای که اصلاً چسبنده‌گی ندارند نمی‌توان این آزمایش را انجام داد، چون نمونه‌ی خاک به صورت نمونه‌ی استوانه‌ای در نمی‌آید و می‌ریزد. این آزمایش برای خاک‌های درشت‌دانه در صورتی قابل انجام است که اندکی چسبنده‌گی در بین دانه‌ها وجود داشته باشد. در این آزمایش شرایط زهکشی قابل کنترل نیست. چون زمان این آزمایش کوتاه است و خاک‌های رسی در این زمان کوتاه، آب را رها نمی‌سازند، لذا می‌توان شرایط آزمایش را «فرض کرد».



تفاوت ساز و کار این آزمایش با آزمایش سه محوری در آن است که در آزمایش تک محوری تنش‌های جانبی وجود ندارد. به عبارت دیگر مقدار σ_3 برابر صفر است. یعنی همه دوایر موهر از مبدأ می‌گذرند. در این حالت

خط موهر- کلمب یک خط افقی است. به عبارت دیگر، در شرایط undrained خاک اصطکاک داخلی از خود نشان نمی‌دهد و $c = 0$ است. در اینجا چون C مربوط به شرایط undrained است آن را با C_u نشان می‌دهند. در واقع در این حالت، چسبندگی (C_u) نصف فشاری است که به نمونه وارد می‌شود تا نمونه گسیخته شود. مقدار تنش حد اکثر را با σ_r (unconfined compressive strength) نشان می‌دهند و آن را تاب فشاری محصور نشده خاک (unconfined compressive strength) می‌گویند.



مقاومت برشی ماسه‌ها:

$$\tau_f = \sigma \cdot \tan \phi + c \quad \text{در معیار موهر- کلمب دیدیم:}$$

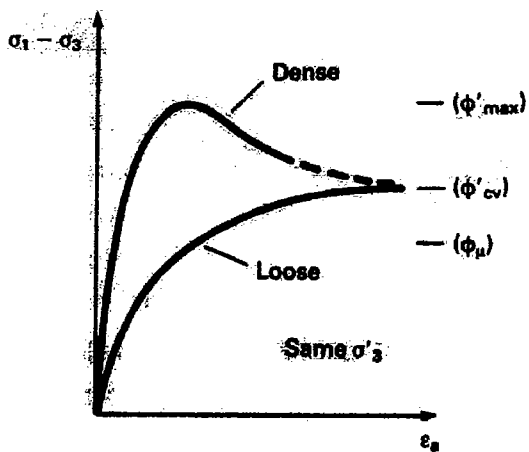
بعد از ارائه‌ی تعریف تنش موثر توسط Terzaghi در خاک‌های اشبع، این رابطه در خاک‌های اشبع به صورت زیر بیان شد:

$$\tau_f = \sigma' \cdot \tan \phi' + c'$$

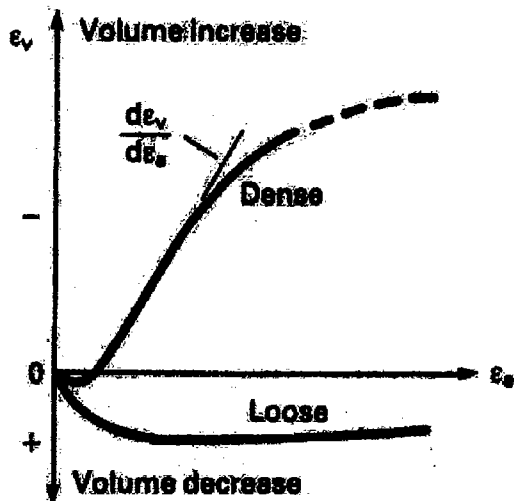
یعنی مقاومت برشی در خاک اشبع تابعی از تنش موثر وارد به خاک و پارامترهای مقاومت برشی خاک است. در طبیعت ماسه می‌تواند خشک یا مرطوب باشد که در اینصورت تمام بار واردہ را اسکلت خاک تحمل می‌کند. همچنین ماسه می‌تواند اشبع باشد و بخشی از فشار واردہ را آب تحمل کند. برای ماسه‌های اشبع نوع رفتار معمولاً زهکشی شده است چون آب منفذی تحت اثر فشار به سهولت می‌تواند از خلل و فرج خاک خارج شود ($u_e = 0$). در حالات خیلی خاص ممکن است سرعت وارد شدن بار آنقدر زیاد باشد که آب فرصت خارج شدن پیدا نکند (وقوع زلزله، بارگذاری انفجار، ...). در این حالت می‌توان رفتار خاک ماسه‌ای را زهکشی نشده در نظر گرفت. در حالت زهکشی نشده بارگذاری موجب افزایش فشار آب منفذی می‌شود ($u_e \neq 0$).

گاهی ممکن است فشار آب منفذی به σ کل برسد. در اینصورت $\sigma' = 0$ خواهد شد. در نتیجه طبق معیار موهر- کلمب $c = \tau_f$ خواهد بود که چون خاک ماسه ای چسبندگی زیادی ندارد، تنش برشی خیلی کمی را تحمل می‌کند. در این حالت خاک مثل یک سیال غلیظ عمل می‌کند که به این پدیده روانگونی یا «روانگرایی» می‌گویند.

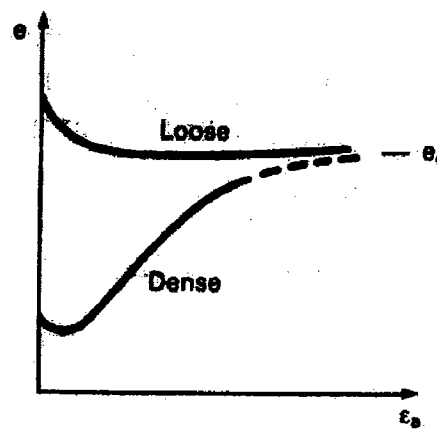
اگر در آزمایش سه محوری که برای خاک‌های ماسه ای انجام می‌دهیم منحنی تغییرات σ را بر حسب کرنش محوری (ϵ) رسم کنیم به یکی از منحنی‌های زیر خواهیم رسید.



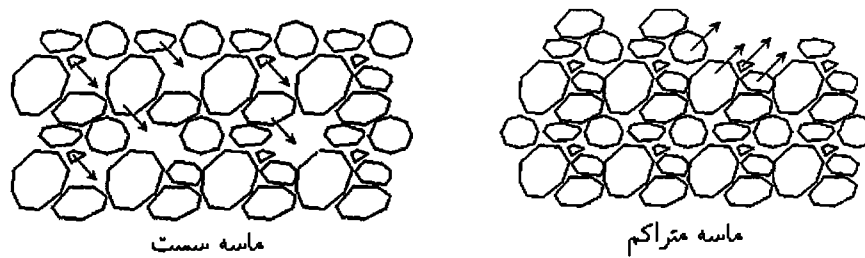
علت اختلاف این دو منحنی آن است که در ماسه‌های متراکم دانه‌های خاک در هم قفل شده‌اند (inter locking) و در ابتدا باید بر این نیروی قفل شدگی غلبه شود. به همین دلیل منحنی ابتدا به اوج (Peak) رسیده و بعد نزول می‌کند. برای ماسه‌های سست (در همان σ_3') چنین نقطه اوجی در منحنی مشاهده نمی‌شود. اگر روی محور قائم کرنش حجمی را نشان دهیم به چنین منحنی‌ای خواهیم رسید:



در ماسه‌های متراکم همانطور که در شکل زیر نشان داده شده است، دانه‌های ماسه برای عبور از یکدیگر باید روی هم سوار شده و لذا به طرف بالا حرکت کنند لذا حجم نمونه افزایش می‌یابد. اما در ماسه‌های سست چون تخلخل بالا بوده و دانه‌ها در لایه لای هم جای می‌گیرند حجم نمونه کاهش می‌یابد. می‌توان منحنی تغییرات درجه تخلخل را نیز بر حسب کرنش محوری به دست آورد:

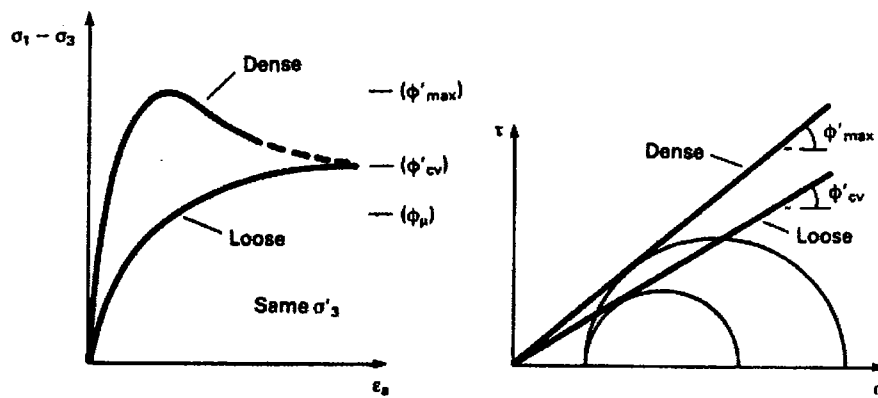


بیشترین شیب تغییرات در منحنی $e - e_v$ را به عنوان نرخ اتساع (dilation Rate) معرفی می‌کنند. پدیده‌ی افزایش حجم خاک در اثر برش را اتساع (Dilatancy) می‌گویند.



می‌دانیم در ماده‌ای که رفتار الاستیک خطی داشته باشد، تنش برشی فقط باعث تغییر زاویه، و تنش قائم فقط باعث تغییر حجم می‌شود. پس پدیده‌ی اتساع دلیلی بر غیرالاستیک بودن رفتار خاک است. برای هر دو نوع ماسه سست و متراکم، اگر ما در آنها برشی ایجاد کنیم به حدی که به کرنش‌های بالا برسند وضعیتی در ماسه‌ها اتفاق می‌افتد که بدون تغییر حجم، با روی هم لغزیدن دانه‌ها، مقدار کرنش افزایش می‌یابد، به عبارتی دیگر تحت اثر تنش ثابتی در خاک کرنش زیاد می‌شود، بدون اینکه تغییر حجم بدهد. این رفتار، متناظر e خاصی است که به آن تخلخل بحرانی ($e_{critical}$) می‌گویند.

اگر برای ماسه‌های سست و متراکم دایره‌ی موهر نظری تنش‌های آنها را در دستگاه $\sigma - \tau$ رسم کنیم خواهیم داشت:



برای ماسه‌های متراکم که هنگام گسیختگی به نقطه اوج (Peak) خود می‌رسند، دایره‌ی موهر، بزرگتر است که شبیخ خط نظری آن را با ϕ'_{\max} نشان می‌دهیم. برای ماسه‌های سست دایره‌ی موهر کوچکتر است. برای بعضی از ماسه‌ها به صورت زیر به دست آمده است:

	ϕ'_{cv}	ϕ'_{\max}
ماسه یکنواخت گرد گوشه	27°	35°
ماسه خوب دانه بندی شده تیز گوشه	33°	45°
شن ماسه دار	35°	50°
ماسه‌ی لای دار	27-30°	30-34°

نکته: باید توجه داشت که برای یک نمونه خاک ماسه‌ای یکسان، دو آزمایش برش مستقیم و سه محوری نتیجه یکسان نمی‌دهد. چون سطح برش در آزمایش برش مستقیم تحملی است. به همین دلیل ϕ' به دست آمده در این آزمایش معمولاً حدود 10% بیشتر از ϕ به دست آمده از آزمایش سه محوری است.

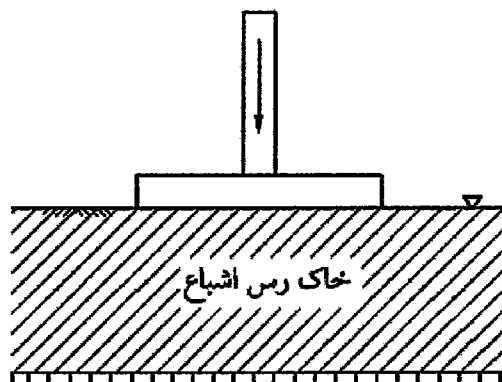
مقاومت برشی خاک‌های رسی:

در طبیعت خاک‌های رسی یا اشباع هستند یا غیراشباع (مرطوب). به لحاظ ساختار کانی‌های خاک رس، نمی‌توان در طبیعت خاک رس کاملاً خشک پیدا کرد. برای مناطق بالای مدار 25° که بارندگی زیاد است خاک رس همواره اشباع و برای مناطق زیر مدار 25° خاک‌های رس گاهی غیراشباع هستند.

آزمایش مناسب برای تعیین مقاومت برشی خاک‌های رسی، آزمایش سه محوری است، اما به علت هزینه و زمان زیادی که این آزمایش نیاز دارد، از آزمایش فشاری محصورنشده (تک محوری) برای تعیین مقاومت برشی خاک‌های رسی زیاد استفاده می‌شود. اگر در آزمایش فشاری محصورنشده از خاک رسی اشباع استفاده کنیم چون سرعت انجام این آزمایش زیاد است آب فرصت خروج از نمونه را نخواهد داشت لذا شرایط این آزمایش UU می‌باشد. اما در آزمایش سه محوری تنظیم شرایط مختلف در آزمایش امکان پذیر است. در حالتی که نمونه غیراشباع باشد در حین آزمایش سه محوری ممکن است اصلًا آبی از نمونه خارج نشود (در خاک‌های غیر اشباع لزوماً تغییرشکل با خارج شدن آب همراه نیست) در این حالت انتخاب یکی از شرایط UU، CU یا CD مطرح نیست. به همین جهت، اگر آزمایش سه محوری را بر روی خاک غیر اشباع انجام دهیم به این آزمایش آزمایش سریع یا «Quick test» می‌گویند.

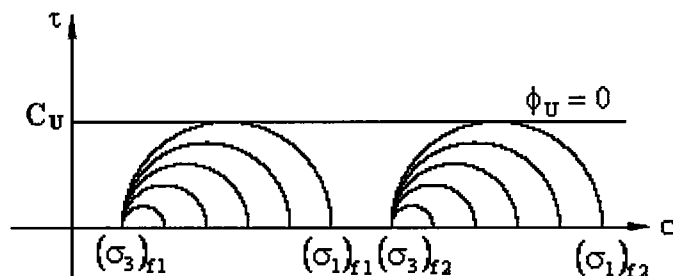
مقاومت برشی خاک‌های رسی غیراشباع از خاک‌های اشباع بیشتر است. لذا معمولاً ابتدا خاک را اشباع کرده و سپس آزمایش را انجام می‌دهند. نتیجه‌ی این حالت درجه اطمینان است.

اگر بخواهیم روی یک خاک رسی اشباع، سازه‌ای را بنا کنیم چون فرصت کافی جهت زهکشی شدن به خاک داده نمی‌شود، رفتار خاک (در کوتاه مدت) زهکشی نشده است. اما با گذشت زمان، تحکیم صورت گرفته و فشار آب اضافی تدریجاً زایل می‌شود بنابراین در درازمدت رفتار خاک اشباع، رفتار زهکشی شده است. بنابراین در آزمایشگاه نیاز داریم تا هم آزمایش undrained و هم آزمایش drained را انجام دهیم تا پارامترهای مقاومت برشی خاک را در دو حالت کوتاه مدت و درازمدت داشته باشیم.



شرایط UU

اگر آزمایش را در شرایط تحکیم نشده زهکشی نشده انجام دهیم (با σ_3 های مختلف) به دوایر موهری شبیه حالت نشان داده شده خواهیم رسید:



مشاهده می‌شود که با افزایش σ_3 قطر دوایر گسیختگی ثابت بوده و تغییری در میزان تنش گسیختگی ایجاد نمی‌شود. چون در آزمایش UU اضافه تنش به آب وارد نه به خاک. لذا با افزایش σ_3 خاک متراکم‌تر نمی‌شود. بهمین دلیل پوش گسیختگی در این حالت افقی است. یعنی:

$$\phi_u = 0$$

(اندیس U نشان دهندهی آزمایش UU است).

لازم بذکر است، $\phi_u = 0$ بدین معنی نیست که خاک اصطکاک ندارد بلکه در شرایط آزمایش UU، مقاومت برشی خاک اشباع ناشی از φ (اصطکاک) بروز نمی‌کند. بعبارت دیگر $C_u = 0$ یک ویژگی ذاتی خاک نبوده بلکه تحت شرایط آزمایشگاهی خاص بدست می‌آید.

$$\rightarrow \quad C_u = \frac{\sigma_d}{2}$$

C_u در خاک‌های رسی خیلی اهمیت دارد. این پارامتر خیلی حساس است و ممکن است در انتقال نمونه به آزمایشگاه به علت دست خوردن تغییر زیادی در این پارامتر ایجاد شود.

Soil type	C_U
very stiff to hard clay	> 150 KN/m ²
Stiff clay	100-150
firm to stiff clay	75-100
Firm clay	50-75
soft to firm clay	40-50
soft clay	20-40
very soft clay	< 20 KN/m ²

هر چه تغییرات C_U خاک رس بر اثر دستخوردگی بیشتر باشد، خاک را حساس تر می‌گویند. حساسیت (sensitivity) خاک رس را به صورت زیر تعریف می‌کنند:

$$\text{حساسیت} = \frac{\text{ مقاومت پرشی زهکشی نشده نمونه‌ی دست نخورده}}{\text{ مقاومت پرشی زهکشی نشده نمونه‌ی دست نخورده}} - 1$$

حساسیت برای خاک‌های مختلف به صورت زیر طبقه‌بندی می‌شود:

1-4 : رس با حساسیت معمولی

4-8 : رس حساس

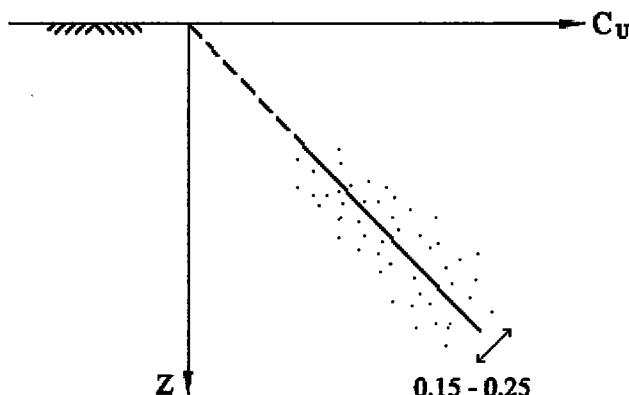
8-16 : رس خیلی حساس

Quick clay : >16

با انجام آزمایشات متعدد روی خاک‌های رسی لندن (از نوع NC) به این نتیجه رسید که مقاومت پرشی C_U خاک با افزایش عمق به صورت خطی زیاد می‌شود. با توجه به اینکه با افزایش عمق، تنفس موثر نیز زیاد می‌شود. وی رابطه‌ی تجربی زیر را برای تخمین C_U در خاک‌های رسی اشباع NC در اعماق مختلف بیان کرد:

$$\frac{C_U}{\sigma'_v} = 0.11 + 0.0037 I_p$$

شیب تغییرات C_U در عمق حدود 0.15 تا 0.25 می‌باشد.



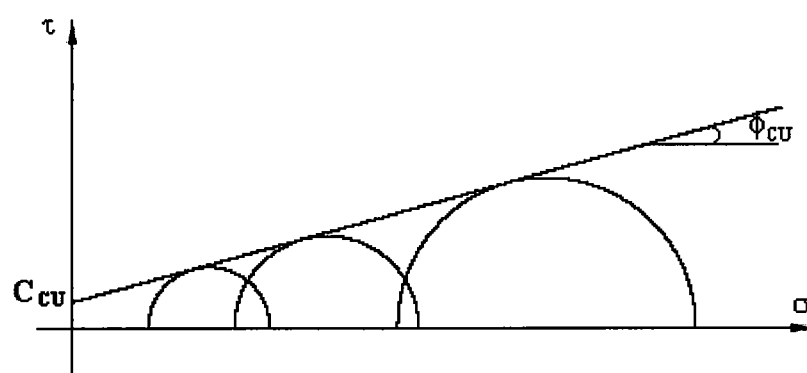
...CD و C_U

برای به دست آوردن رفتار خاک در درازمدت باید از آزمایش C_U یا CD استفاده کرد.

در آزمایش CU ابتدا نمونه را در حالی که شیر کنترل خروج آب منفذی باز است تحت تنش همه جانبی σ_3 قرار می دهیم تا نمونه تحکیم شود. در این حالت درجهٔ تخلخل خاک c است. سپس شیر کنترل را بسته و σ_d به نمونه اعمال می کنیم و آن را آنقدر ادامه می دهیم تا نمونه گسیخته شود.

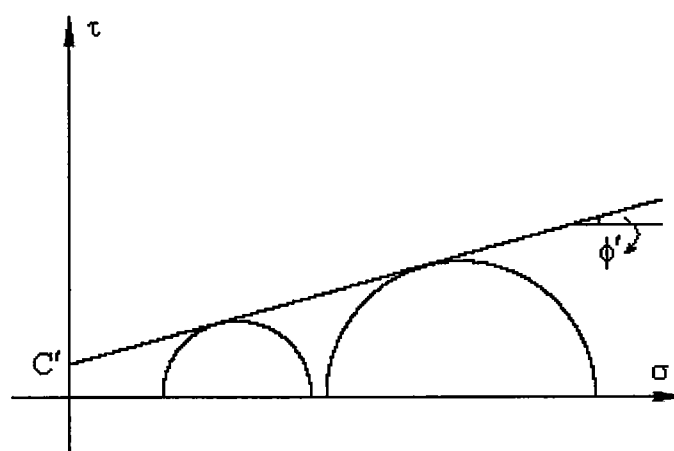
سپس نمونه خاک مشابهی را تحت σ_3 بیشتری قرار می دهیم تا تحکیم شود و سپس آزمایش را تکرار می کنیم. پس از انجام چند آزمایش دوایر موهربای تنشهای حالت خرابی را رسم کرده و یا رسم مماس مشترک بر این دوایر پوش گسیختگی را بدست می آوریم.

برخی از محققین بر این اعتقاد هستند که نمی توان به نتایج آزمایش CU اعتماد کرد چون در هر آزمایش خاک تحت σ_3 بزرگتری تحکیم می شود و در نتیجه تخلخل (c) خاک تغییر می کند پس وضعیت نمونه ها هنگام اعمال σ_d با یکدیگر فرق دارد، به عبارت دیگر چون خصوصیات نمونه تغییر می کند آزمایش CU بر روی خاکهای متفاوتی صورت می گیرد.



به دلیلی که گفته شد (تغییر خصوصیات اولیهٔ نمونه ها) بهتر است از آزمایش CD برای تعیین مقاومت برش خاک رس در دراز مدت استفاده شود.

در این آزمایش فشار آب منفذی اضافی کاملاً از بین رفته و بار واردہ به تنش موثر تبدیل شده است. پارامترهای پوش گسیختگی را در این حالت با $'c$, $'\phi$ نشان می دهنند.



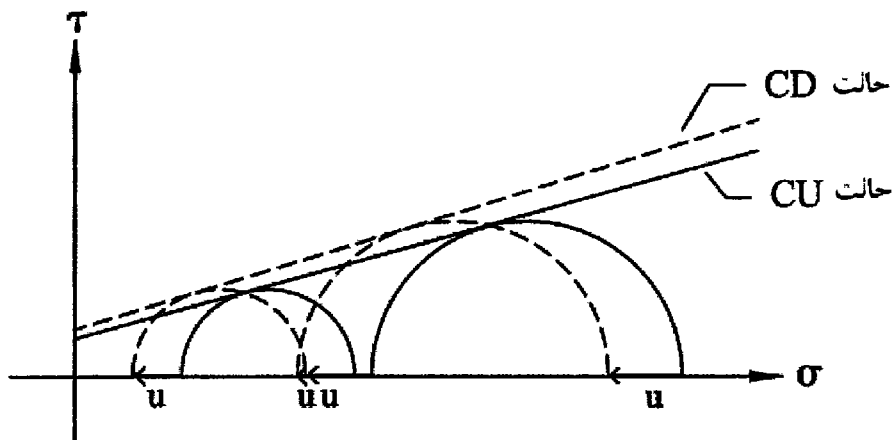
برای رسهای اشباع داریم:

$$\Phi_{CD} = \phi' : 20^\circ \sim 35^\circ \quad (NC \rightarrow OC)$$

$$C_{CD} = c' : 0 \sim 30 \text{ KN/m}^2 \quad (NC \rightarrow OC)$$

یعنی با بالا رفتن درجهٔ پیش تحکیمی خاک رس، مقادیر $'\phi$ و $'c$ آن افزایش می باید.

تنها مشکلی که آزمایش CD دارد این است که بسیار کند انجام می‌شود. گاهی یک آزمایش CD در حدود یک یا دو هفته به طول می‌انجامد. از آنجا که آزمایش CU سرعت بیشتری دارد، می‌توانیم در حین انجام آزمایش CU فشار آب منفذی را اندازه بگیریم و از تنש‌های $\sigma_1, \sigma_3, \sigma_u$ کم کنیم تا به تنش‌های موثر برسیم که همان آزمایش CD است. به این طریق می‌توان در زمان کم پوش گسیختگی حالت CD را به دست آورد (شکل زیر).

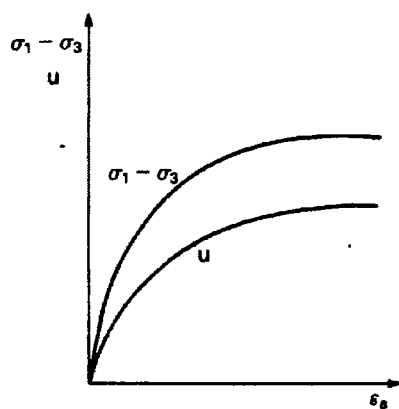


بدین صورت می‌توان ' ϕ' و ' C' خاک را با انجام "آزمایش CU با اندازه‌گیری فشار منفذی" تعیین نمود.

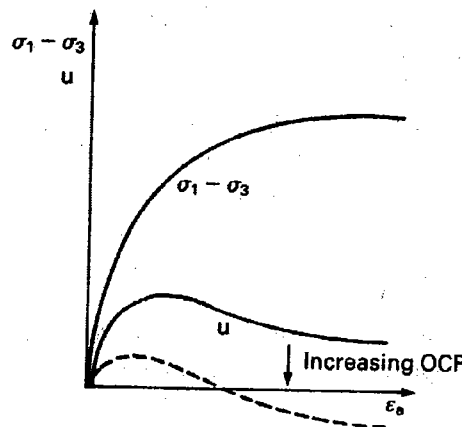
مقایسه نتایج آزمایش CU روی خاکهای رس OC و NC

در آزمایش‌های CU چون امکان زهکشی حین اعمال تنش σ_d وجود ندارد قسمتی از بار را آب تحمل می‌کند و فشار منفذی (u) افزایش می‌یابد.

برای خاکهای رسی اشباع از نوع NC می‌توان منحنی تغییرات σ_d و u بر حسب ε_{axial} را به صورت زیر رسم کرد:



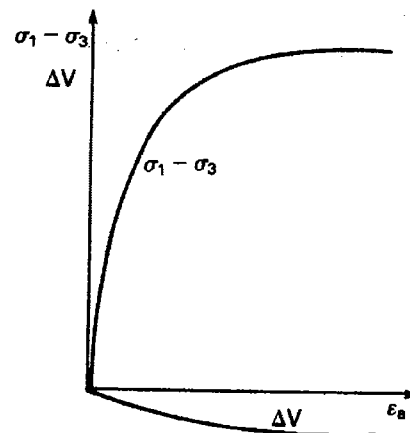
اما اگر دیاگرام $\varepsilon_a - \sigma_d$ را برای خاک رسی اشباع OC رسم کنیم منحنی شبیه شکل زیر به دست خواهد آمد.



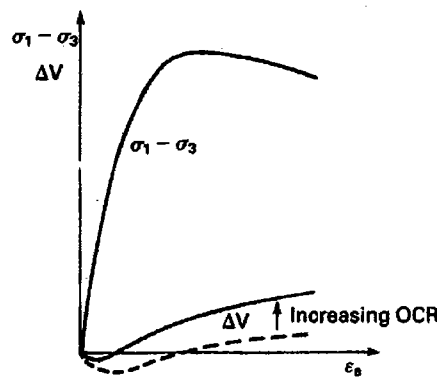
توجه کنید که در این حالت رفتار $\varepsilon_a - \sigma_d$ مانند حالت قبل است اما فشار آب منفذی رفتار متفاوتی را از خود نشان می‌دهد. اگر OCR خاک خیلی زیاد باشد ممکن است بعد از مدتی فشار آب منفذی منفی شود. علت این مسئله، وقوع اتساع (dilation) در داخل خاک می‌باشد.

مقایسه نتایج آزمایش‌های CD روی خاک‌های رسی NC و OC

در آزمایش CD بر روی خاک رسی NC منحنی σ_d برحسب ε_a شبیه آزمایش CU است، اما چون در این آزمایش امکان زهکشی وجود دارد اضافه فشار آب منفذی برابر صفر خواهد بود. در عوض، خروج آب منفذی از نمونه باعث می‌شود که نمونه حین برش تغییر حجم داشته باشد.



(در آزمایش CU چون امکان خروج آب وجود ندارد $\Delta V = 0$ است).
برای خاک‌های رسی اشباع از نوع OC رفتار منحنی σ_d برحسب ε_a شبکی ماسه‌های متراکم دارد (نقشه اوج یا peak دارد). در این حالت ΔV شکلی به صورت آنچه در شکل زیر نشان داده است، خواهد داشت. با افزایش OCR رفتار تغییر حجمی به صورت رسم شده در منحنی زیر تغییر خواهد کرد.
در واقع می‌توان گفت در آزمایش CD رفتار رس عادی تحکیم یافته مثل ماسه سست و رفتار رس پیشتحکیم یافته همانند ماسه متراکم می‌باشد.



ضرایب فشار آب منفذی: (Pore Pressure Parameters A,B)

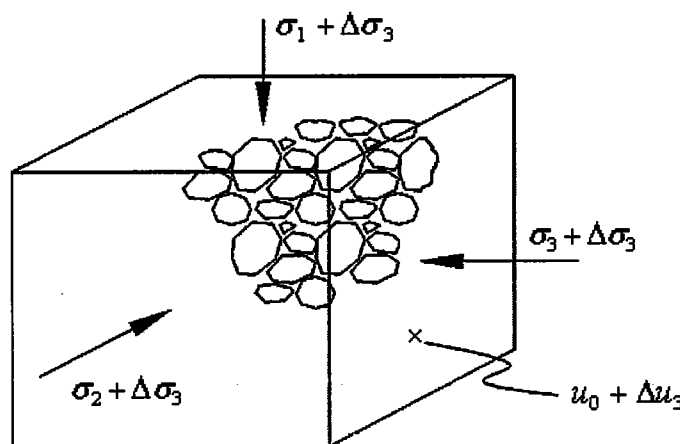
در دهه‌ی ۷۰ به تعیین این ضرایب پرداخت. هدف از تعریف این ضرایب آن بود که پاسخ فشار آب منفذی به تغییرات تنش کل وارده بر خاک تحت شرایط زهکشی نشده قابل محاسبه باشد. پاسخ فشار آب منفذی، اضافه فشار آب منفذی اولیه (Δu) ایجاد شده در داخل خاک در لحظه‌ی بارگذاری است که در شرایط undrained ایجاد می‌شود (البته Δu به مرور زمان به علت زهکشی و تحکیم به صفر خواهد رسید).

در اینجا مشابه مراحل آزمایش سه محوری چند حالت ممکن است رخ دهد که آن‌ها را بررسی می‌کنیم...

(۱) اعمال فشار همه جانبی یکنواخت بر روی المان خاک اشباع:

در این حالت می‌خواهیم ببینیم اگر المان تحت فشار همه جانبی $\Delta\sigma_3$ اضافی قرار گیرد چه مقدار فشار آب منفذی تغییر خواهد کرد.

$$\Delta u_3 = ?$$



می‌توان نوشت:

$$\Delta u_3 = \Delta\sigma_3 - \Delta u$$

همچنین اگر ضریب تراکم پذیری اسکلت خاک را (مقدار کاهش حجم واحد حجم اسکلت خاک به ازای واحد تغییرات تنش) با C_s نشان دهیم خواهیم داشت:

$$\text{کاهش حجم در اسکلت خاک} = C_s \cdot V \cdot (\Delta \sigma_3 - \Delta u_3)$$

در رابطه بالا V حجم نمونه خاک می‌باشد همچنین می‌توان نوشت:

$$\text{کاهش حجم فضای خالی (pore space)} = C_v \cdot nV \cdot \Delta u_3$$

که در رابطه بالا، C_v ضریب تراکم پذیری آب منفذی و n درصد پوکی خاک می‌باشد.

اگر دانه‌های جامد خاک تراکم ناپذیر فرض شوند و زهکشی نیز امکان نداشته باشد تغییر حجم المان در اثر خروج آب امکان پذیر نبوده و لزوماً دو عبارت کاهش حجم فوق باید با هم برابر باشند:

$$\rightarrow C_s \cdot V \cdot (\Delta \sigma_3 - \Delta u_3) = C_v \cdot nV \cdot \Delta u_3$$

$$\rightarrow \Delta u_3 = \Delta \sigma_3 \left(\frac{1}{1 + n \left(\frac{C_v}{C_s} \right)} \right)$$

حال اگر پرانتز بالا را به عنوان ضریب B تعریف کنیم خواهیم داشت:

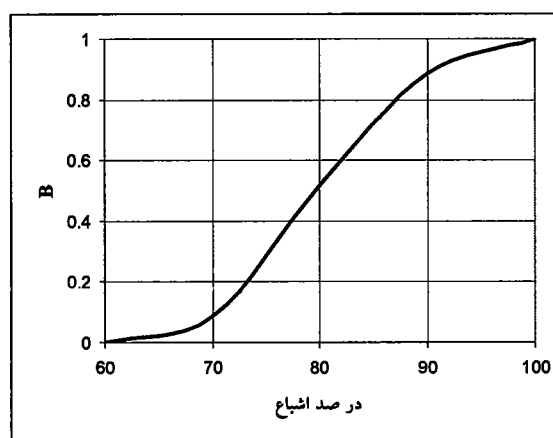
$$\Delta u_3 = B \cdot \Delta \sigma_3$$

$$B = \frac{1}{1 + n \left(\frac{C_v}{C_s} \right)}$$

در خاک‌های اشباع با فرض عدم وجود هوای حل شده در آب، چون تراکم پذیری آب در مقابل تراکم پذیری

اسکلت خرپایی خاک ناچیز است بنابراین $\frac{C_v}{C_s} = 0$ میل خواهد کرد و خواهیم داشت: $B=1$. اما چون در

طبیعت اندکی هوا درون آب حل شده است این ضریب اندکی از یک کمتر است. در صورتی که خاک غیراشباع باشد، در خلل و فرج خاک به غیر از فاز آب، مقدار قابل توجهی هوا نیز وجود دارد که در اینصورت C_v عدد بزرگی خواهد شد. لذا B کاهش پیدا می‌کند. بنابراین B تابعی از درجه ای اشباع است.

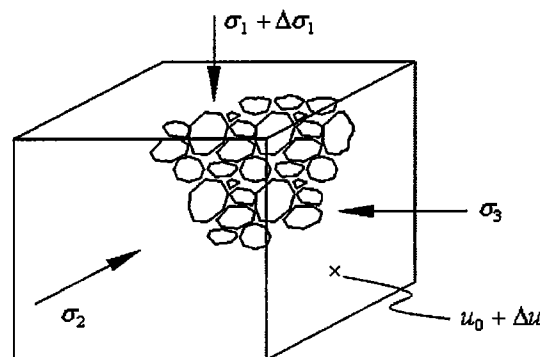


اگر درجه ای اشباع خیلی کاهش پیدا کند (کمتر از 65%) تقریباً می‌توان B را صفر در نظر گرفت. به عبارت دیگر در این حالت فشار آب منفذی در اثر اعمال $\Delta \sigma_3$ تغییری نمی‌کند.

از این تعریف می‌توان برای شناسایی اشباع بودن نمونه خاک در آزمایشگاه استفاده کرد. به این صورت که در هنگام انجام آزمایش سه محوری، فشار آب منفذی در نمونه را در اثر وارد شدن σ_3 به دست می‌آوریم اگر $B \cong 1$ به دست آمد می‌توان گفت نمونه اشباع است.

(۲) اضافه شدن تنش اصلی حداقل:

در این حالت فرض می‌کنیم المان تحت تنش‌های $\sigma_1, \sigma_2, \sigma_3$ قرار داشته باشد. سپس به بار قائم به اندازه $\Delta\sigma_1$ اضافه می‌کنیم و قصد داریم تا تغییرات فشار آب منفذی را به دست آوریم. در این حالت در سه جهت تنش موثر تغییر می‌کند اما Δu در تمام المان یکسان است.



$$\Delta\sigma'_1 = \Delta\sigma_1 - \Delta u_1$$

$$\Delta\sigma'_2 = -\Delta u_1$$

$$\Delta\sigma'_3 = -\Delta u_1$$

بنابراین می‌توان نوشت...

$$\frac{1}{3}[(\Delta\sigma_1 - \Delta u_1) + (-\Delta u_1) + (-\Delta u_1)] = \text{متوسط تنش موثر در سه جهت}$$

$$= \frac{1}{3}(\Delta\sigma_1 - 3\Delta u_1)$$

در این حالت تنش‌های وارده به سیستم در جهت‌های مختلف یکسان نیست. اگر فرض کنیم رفتار نمونه خاک الاستیک باشد تا بتوان متوسط تنش‌های اضافه شده در سه جهت را برای محاسبه کاهش حجم مورد استفاده قرار داد، خواهیم داشت:

$$\frac{1}{3}C_s \cdot V \cdot (\Delta\sigma_1 - 3\Delta u_1) = \text{کاهش حجم در اسکلت خاک}$$

$$C_v \cdot nV \cdot (\Delta u_1) = \text{کاهش حجم در فضای خالی (آب)}$$

از مساوی قرار دادن دو رابطه فوق می‌توان نتیجه گرفت:

$$\rightarrow \frac{1}{3}C_s \cdot V \cdot (\Delta\sigma_1 - 3\Delta u_1) = C_v \cdot nV \cdot (\Delta u_1)$$

$$\rightarrow \Delta u_1 = \frac{1}{3} \left(\frac{1}{1 + n \left(\frac{C_v}{C_s} \right)} \right) \Delta\sigma_1$$

$$= \frac{1}{3} B \cdot \Delta \sigma_1$$

باید توجه داشت از آنجا که رفتار خاک فی الواقع الاستیک نیست بنابراین ضریب $\frac{1}{3}$ تغییر خواهد کرد. در حالت

کلی اگر بجای $\frac{1}{3}$ از ضریب A استفاده کنیم:

در اینصورت فرض می‌کنیم $\Delta u_1 = \bar{A} \Delta \sigma_1$ باشد و به کمک آزمایش سه محوری و اندازه گیری فشار آب منفذی حین اعمال بار $\Delta \sigma_1$ ، مقدار \bar{A} را به دست می‌آوریم.

$$\overline{A} = A \cdot B$$

برای هر $\Delta\sigma_1$ می‌توان \bar{A} را به دست آورد، اما چیزی که برای ما مهم است \bar{A} در لحظه‌ای است که نمونه در حال گسیخته شدن است. اگر \bar{A} را در لحظه‌ی گسیختن با \bar{A}_f نشان دهیم، Skempton با آزمایشات مختلف به دست آورده...
 ...

$$0.5 < \overline{A}_f < 1.0$$

برای رس‌های نرم (NC)

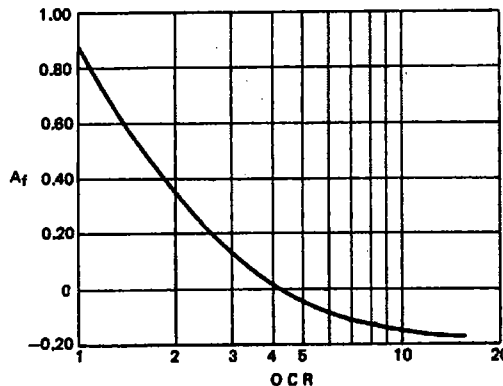
$$0.0 < \overline{A}_f < 0.5$$

برای رس‌های سفت (OC)

$$-0.5 < \bar{A}_f < 0.0$$

(برای رس‌های سخت (heavily OC)

مشاهده می‌شود که \bar{A}_f تابعی از OCR است. با استفاده از نمودار زیر و داشتن OCR خاک می‌توان \bar{A}_f را به دست آورد:



لازم به ذکر است که از آنجا که در نمونه اشباع $B \cong 1$ است، لذا برای خاک اشباع $A \cong \bar{A}$ و می‌باشد.

(3) ترکیب دو نوع افزایش تنش:

در حالت بارگذاری کلی روی المان خاک اشیاع، Δu کل با تلفیق Δu_3 و Δu_1 بدست می‌آید.

$$\begin{aligned}\Delta u &= \Delta u_1 + \Delta u_3 \\&= AB(\Delta\sigma_1 - \Delta\sigma_3) + B.\Delta\sigma \\&= B(\Delta\sigma_3 + A(\Delta\sigma_1 - \Delta\sigma_3))\end{aligned}$$

$$\begin{aligned}\rightarrow \frac{\Delta u}{\Delta \sigma_1} &= B \left[\frac{\Delta \sigma_3}{\Delta \sigma_1} + A(1 - \frac{\Delta \sigma_3}{\Delta \sigma_1}) \right] \\ \rightarrow \frac{\Delta u}{\Delta \sigma_1} &= B \left[1 - (1-A)(1 - \frac{\Delta \sigma_3}{\Delta \sigma_1}) \right]\end{aligned}$$

به این ترتیب می‌توان با داشتن تغییرات تنش‌های کل $\Delta \sigma_1$ و $\Delta \sigma_3$ و ضرایب A و B خاک از آزمایشگاه، Δu ایجاد شده را در هر نقطه‌ای از خاک به دست آورد.

مثال ۱: در یک آزمایش سه محوری، یک نمونه خاک رس اشباع تحت تنش همه جانبی $\sigma_3 = 25 \text{ kPa}$ قرار گرفته است. نمونه در تنش قائم $\sigma_1 = 65 \text{ kPa}$ روی صفحه‌ای با زاویه 49° درجه نسبت به راستای افق گسیخته می‌شود. تنش قائم و برشی بر روی صفحه گسیختگی چقدر است؟ آیا این حداکثر تنش برشی در کل نمونه خاک است؟ چرا؟ حداکثر تنش برشی و زاویه صفحه‌ای که حداکثر تنش برشی روی آن رخ می‌دهد را تعیین کنید.

حل:

$$\sigma_f = \frac{\sigma_1 + \sigma_3}{2} + \frac{\sigma_1 - \sigma_3}{2} \cos 2\theta = 45 + 20 \cos(2 \times 49) = 42.2 \text{ kPa}$$

$$\tau_f = \frac{1}{2}(\sigma_1 - \sigma_3) \sin 2\theta = \frac{1}{2}(40) \cdot \sin(2 \times 49) = 19.8 \text{ kPa}$$

حداکثر تنش برشی در نمونه، در صفحاتی با زاویه 45° نسبت به راستای افق رخ می‌دهد:

$$\tau_{\max} = \frac{\sigma_1 - \sigma_3}{2} = \frac{40}{2} = 20 \text{ kPa}$$

مثال ۲: در یک آزمایش سه محوری تحکیم یافته - زهکشی نشده (CU) بر روی یک نمونه رس اشباع NC در لحظه گسیختگی اعداد زیر ثبت شده است. ϕ و C و همچنین ϕ' و C' را برای این نمونه خاک تعیین نمائید. برای صفحه‌ای که روی آن $\sigma' = 180 \text{ kPa}$ می‌باشد، حداکثر مقاومت برشی خاک چقدر است؟

$$\sigma_1 = 350 \text{ kPa}, \quad \sigma_3 = 100 \text{ kPa}, \quad u = 60 \text{ kPa}$$

حل:

لازم به ذکر است که برای خاک‌های رس نرم اشباع (NC)، مقدار چسبندگی که در آزمایشات CU و CD به دست می‌آید، ناچیز و قابل صرف‌نظر کردن است. برای خاک‌های رس (OC) باید مقدار C را برای حل مسئله داشته باشیم.

$$\sin \phi = \frac{(\sigma_1 - \sigma_3)/2}{(\sigma_1 + \sigma_3)/2} = \frac{(350 - 100)/2}{(350 + 100)/2} = 0.555 \quad \longrightarrow \quad \phi = 33.7^\circ$$

$$\begin{cases} \sigma'_1 = \sigma_1 - u = 350 - 60 = 290 \text{ kPa} \\ \sigma'_3 = \sigma_3 - u = 100 - 60 = 40 \text{ kPa} \end{cases}$$

$$\sin \phi' = \frac{(\sigma'_1 - \sigma'_3)/2}{(\sigma'_1 + \sigma'_3)/2} = \frac{(290 - 40)/2}{(290 + 40)/2} = 0.757 \quad \longrightarrow \quad \phi' = 49^\circ$$

$$\tau_f = \sigma' \cdot \tan \phi' = 180 \times \tan 49^\circ = 208.9 \text{ kPa}$$

مثال ۳: با استفاده از دستگاه سه محوری، ابتدا عمل تحکیم بر روی یک نمونه خاک، تحت فشار محفظه ای 600 kPa و پس فشار 300 kPa انجام می شود. سپس در شرایط زهکشی نشده، فشار محفظه ای به 700 kPa افزایش داده می شود که در نتیجه آن، مقدار فشار آب حفره ای به 395 kPa می رسد. پارامتر B فشار منفذی اسکمپتون در این مرحله چقدر است؟

حل:

$$\Delta\sigma_3 = 700 - 600 = 100 \text{ kPa}$$

$$\Delta u_c = u - u_{B.P.} = 395 - 300 = 95 \text{ kPa}$$

$$\Rightarrow B = \frac{\Delta u_c}{\Delta\sigma_3} = \frac{95}{100} = 0.95$$

مثال ۴: در یک آزمایش سه محوری تحکیم یافته - زهکشی نشده (CU) بر روی نمونه ای از خاک ماسه ای، ضریب فشار منفذی اسکمپتون در حین گسیختگی برابر $A_f = 0.5$ می باشد. اگر فشار جانبی (σ_3) برابر 300 kPa و تفاوت تنش در لحظه گسیختگی ($\Delta\sigma_d$) نیز مساوی فشار جانبی باشد، مطلوب است تعیین مقاومت برشی خاک در حالت تنش موثر.

حل:

$$A_f = \frac{\Delta u_d}{\Delta\sigma_d} \quad \longrightarrow \quad \Delta u_d = 0.5 \times 300 = 150 \text{ kPa}$$

با تبدیل آزمایش CU به CD و با توجه به اینکه نمونه ماسه ای است ($C' = 0$)، خواهیم داشت:

$$\sigma'_1 = \sigma'_3 \times \tan^2(45 + \frac{\phi'}{2}) \quad \longrightarrow \quad (\sigma_1 - \Delta u_d) = (\sigma_3 - \Delta u_d) \times \tan^2 \theta \\ (600 - 150) = (300 - 150) \times \tan^2 \theta \\ \Rightarrow \theta = 60^\circ$$

$$\tau_f = \left[\frac{\sigma'_1 - \sigma'_3}{2} \right] \times \sin 2\theta \quad \longrightarrow \quad \tau_f = \left[\frac{450 - 150}{2} \right] \times \sin 120^\circ = 75\sqrt{3} \text{ kPa}$$

مراجع برای مطالعه بیشتر:

- Holtz, R.D. and Kovacs, W.D. (1981), "An Introduction to Geotechnical Engineering", prentice Hall
- Craig, R.F. (1993), "Soil Mechanics", Fifth Edition, Chapman & Hall
- Lambe, T.W. and Whitman, R.V. (1979), "Soil Mechanics", SI version
- Atkinson, J. (1993), "The Mechanics of Soils and Foundations", McGraw Hill